

05; 11

© 1990 г.

**ВОССТАНОВЛЕНИЕ ПРОФИЛЯ СТРУКТУРНЫХ НАРУШЕНИЙ  
СВЕРХТОНКОГО ПРИПОВЕРХНОСТНОГО СЛОЯ КРИСТАЛЛА  
ИЗ ДАННЫХ ДИФРАКЦИИ РЕНТГЕНОВСКИХ ЛУЧЕЙ  
В УСЛОВИЯХ СКОЛЬЗЯЩЕГО ПАДЕНИЯ**

*A. Л. Головин, О. Г. Меликян*

Предложена методика дифференциальных измерений рентгеновской дифракции в условиях скользящего падения. Высокое угловое разрешение ( $\sim 10''$ ) и отсутствие геометрических искажений достигаются за счет селекции спектра с помощью кристалла-анализатора. Теоретическое рассмотрение базируется на кинематическом приближении теории дифракции. Определена область, в которой применимо данное приближение. Развитый в работе подход справедлив для кристаллов с произвольной зависимостью восприимчивости  $\chi_0$ ,  $\chi_h$  от глубины. Предложена методика восстановления профиля нарушений в кристалле на основе одновременной обработки экспериментальных данных рентгеновской дифракции при различных углах падения излучения.

### Введение

В последние годы активно развиваются рентгенодифракционные методы, основанные на рентгеновской дифракции в условиях скользящего падения (РДСП) [1-3]. Основной особенностью схемы РДСП является то, что падающий и дифрагируемый пучки составляют малые углы с поверхностью, в результате чего резко сокращается глубина проникновения излучения в кристалл из-за эффекта зеркального отражения. Вследствие этого интенсивность дифракционного рассеяния оказывается весьма чувствительной к различного рода нарушениям в тонком (1-100 нм) приповерхностном слое кристалла.

Воначально скользящая геометрия применялась для исследования простых модельных образцов, выращенных по заданной технологии, — «однородная пленка на подложке». Эти эксперименты в основном ставили своей целью исследование самого явления РДСП. В соответствии с этим и развивалась теория, основанная на динамических уравнениях дифракции. При этом исследовались различные простейшие модели приповерхностных нарушений кристалла: аморфная пленка на кристаллической подложке [4], кристаллическая пленка на аморфной подложке [6], кристаллическая пленка на кристаллической подложке (модель бикристалла [5]).

Дальнейшее использование метода РДСП для решения задач структурной диагностики сверхтонкого приповерхностного слоя кристалла требует развития экспериментальной и теоретической базы. Общей задачей структурной диагностики является получение необходимой информации о кристаллах с произвольно меняющимися по глубине параметрами, такими как компоненты поляризации  $X_0$ ,  $X_h$ ,  $X_{lh}$ . Комплексный фактор Дебая—Валлера  $\exp[-W(z)+i\Psi(z)]$ , где  $W(z)$  характеризует среднеквадратичное отклонение атомов в узлах решетки (степень аморфизации), а фаза  $\Psi(z)$  связана с изменением межплоскостного расстояния по глубине.

Частным случаем приповерхностных нарушений кристалла является наличие на поверхности кристалла аморфного слоя ( $\exp(-W)=0$ ), оптическая плотность которого меняется в зависимости от глубины. Для решения данной задачи была предложена методика [7], основанная на одновременном измерении интенсивностей дифрагированной волны и волны, зеркально отраженной от поверхности кристалла. В эксперименте регистрировалась интегральная, а не дифференциальная интенсивность дифрагированной волны, что существенно упрощает методику эксперимента. Путем обработки экспериментальных данных в рамках модифицированной динамической теории [8] была восстановлена зависимость поляризуемости  $X_0(z)$  от глубины в сверхтонком слое  $\sim 300 \text{ \AA}$ .

В настоящей работе рассматривается проблема восстановления профиля аморфизации  $\exp(-W(z))$  по глубине в сверхтонком слое на основе дифференциальных измерений РДСП с высоким разрешением ( $\sim 10''$ ). Предложен соответствующий подход для обработки экспериментальных данных, на примере образцов с нарушенным слоем показано восстановление профилей структурных нарушений.

В разделе 1 описаны метод РДСП и основные схемы для ее реализации. Одна из этих схем использована в настоящей работе. Подробно методика эксперимента приведена в разделе 2. Обработка экспериментальных данных осуществлялась в рамках кинематического приближения теории дифракции (раздел 3). Область применимости предложенной методики, а также практические результаты восстановления профиля нарушений обсуждаются в разделе 4.

## 1. Метод РДСП и различные схемы его реализации

В схеме РДСП (рис. 1) рентгеновский пучок падает на исследуемый кристалл под малым скользящим углом  $\Phi_0 \ll 1$  к поверхности, сравнимым по величине с критическим углом  $\Phi_c = \sqrt{|X_0|}$  полного внешнего отражения для данного кристалла. Кристалл ориентируется таким образом, чтобы выполнялись условия дифракции для плоскостей, перпендикулярных поверхности или составляющих малый угол  $\varphi \ll 1$  по отношению к нормали к поверхности. Угол выхода дифрагируемого излучения  $\Phi_h$  также является малым ( $\Phi_h \ll 1$ ), так что оба пучка, как падающий, так и дифрагируемый, находятся в условиях зеркального отражения.

В данной геометрии углы  $\Phi_h$  и  $\Phi_0$  связаны между собой соотношением [1, 9]

$$\Phi_h^2 = (\Phi_0 + \Psi)^2 - \alpha, \quad (1)$$

где  $\Psi = 2\varphi \sin \theta_B$  — эффективный угол разориентации ( $\theta_B$  — угол Брэгга), а  $\alpha = -2 \sin 2\theta_B (\theta - \theta_B)$  характеризует отклонение для падающего пучка от точного условия Брэгга—Вульфа.

Отметим, что в силу эффектов зеркального отражения и преломления положение брэгговского пика не приходится на значение  $\alpha=0$  [8, 9].

В схеме РДСП можно измерять как дифференциальные зависимости (т. е. зависимость интенсивности дифракционного рассеяния от какого-нибудь параметра при фиксированном значении другого: например, фиксируя  $\Phi_0$ , можно регистрировать зависимость интенсивности от параметра  $\Phi_h$  [3]), так и интегральные, являющиеся суммой интенсивностей при всех значениях варьируемого параметра [2]. Экспериментально интегральные измерения осуществляются достаточно просто, однако они значительно уступают дифференциальным в информативности.

Рассмотрим возможности для осуществления дифференциальных измерений. В соотношении (1) фиксированным является только угол разориентации  $\Psi$ , в то время как параметры  $\alpha$ ,  $\Phi_h$ ,  $\Phi_0$  можно варьировать. В соответствии с этим возможны различные экспериментальные реализации измерений РДСП [10]: 1) при фиксированных значениях  $\Phi_0$  регистрируется интенсивность дифракционного отражения  $I(\Phi_h)$  как функция угла выхода  $\Phi_h$  [3]; 2) при фиксированных значениях  $\Phi_0$  измеряется интенсивность дифракционного рассеяния  $I(\alpha)$  как функция отклонения от условия Брэгга [10]; 3) при фиксированных  $\alpha$  регистрируется зависимость интенсивности  $I(\Phi_0)$  от  $\Phi_0$  [10, 11].

В работе [3] была предложена схема дифференциальных измерений в пункте 1. При этом регистрация зависимости интенсивности дифракционного рассеяния  $I$  ( $\Phi_h$ ) осуществлялась с помощью сканирования детектора со щелью. Получаемое таким образом в эксперименте угловое разрешение достигло  $\sim 3'$ . Аналогичные измерения впоследствии были выполнены и в других работах (см., например, [12]), в которых вместо детектора со щелью использовался ко-

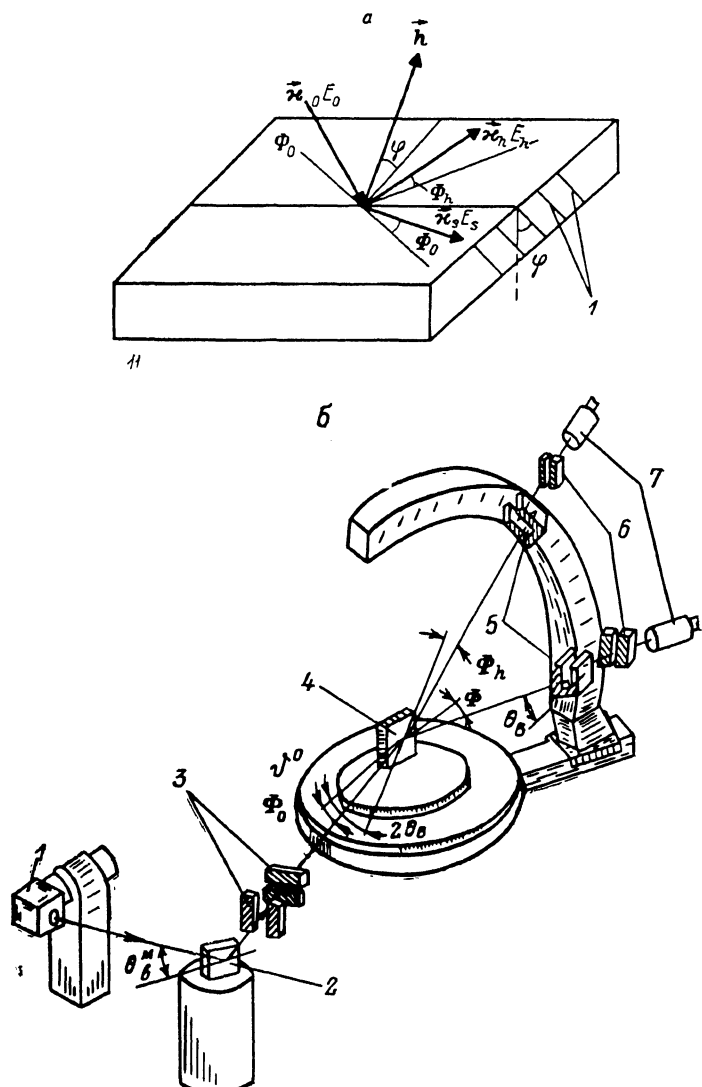


Рис. 1. Дифракция в условиях скользящего падения.

**а** — ход лучей над поверхностью кристалла. 1 — дифракционные плоскости;  $\varphi$  — угол разориентации дифракционных плоскостей;  $\mathbf{h}$  — вектор обратной решетки;  $E_0$ ,  $E_s$ ,  $E_h$  — амплитуды электрических полей падающего, отраженного и дифрагированного излучений,  $x_0$ ,  $x_s$ ,  $x_h$  — соответствующие волновые векторы; **б** — экспериментальная схема установки. 1 — источник, 2 — кристалл-монохроматор, 3 — блок щелей, 4 — исследуемый кристалл, 5 — кристалл-анализатор, 6 — щель, 7 — детектор.

ординатный детектор. Однако невысокая точность таких измерений (регистрируется не угловое распределение, а пространственное, что в общем случае не одно и то же) не позволяет использовать данные кривые для обработки и получения прецизионной информации о структуре сверхтонкого слоя.

В настоящей работе осуществлены экспериментальные измерения дифференциальных кривых РДСП в режиме 1 с высоким разрешением ( $\sim 10''$ ) и без геометрических искажений. Предложена теория для обработки таких кривых

с целью восстановления профиля структурных искажений. Столь высокого разрешения удается достигнуть за счет селекции спектра с помощью кристалла-анализатора (подробнее см. в следующем разделе).

## 2. Эксперимент

Рентгенооптическая схема экспериментальной установки приведена на рис. 1, б. Пучок рентгеновского  $Cu K_{\alpha}$ -излучения от источника мощностью 0.8 кВт (размер фокуса 0.1·8 мм) падает на кристалл-монохроматор (III отражение) под брэгговским углом. Проходя систему щелей, которая выделяет из спектра линию  $K_{\alpha 1}$  и формирует размер пучка 0.05·4 мм, рентгеновское излучение падает на исследуемый кристалл под малым скользящим углом  $\Phi_0$ . Излучение, испытавшее дифракцию от плоскостей (220), почти перпендикулярных ( $\varphi \ll 1$ ) поверхности, и отражение от входной поверхности, регистрируется детекторами 1 и 2. Перед детекторами установлены под брэгговским углом к падающему пучку кристаллы-анализаторы. В процессе эксперимента блок детекторов может поворачиваться вокруг вертикальной оси, анализируя таким способом зависимость интенсивности дифракционного и зеркально-отраженного сигналов от угла отражения  $\Phi'$  и угла выхода дифрагированного излучения  $\Phi_h$ . Поскольку интенсивность регистрируемых сигналов очень мала (1—2 имп./с), то необходима система накопления и стабилизации спектрометра. Оборудование, используемое в настоящей работе, позволяет проводить такие эксперименты.

Суть эксперимента состоит в следующем: для заданного значения угла падения  $\Phi_0$  одновременно снимается зависимость интенсивности дифракционного и отраженного сигналов от углов  $\Phi_h$  и  $\Phi'$ . Исследовались кристаллы совершенного кремния (111) ориентации с пленкой естественного окисла на поверхности толщиной 15—70 Å.

Экспериментальные спектры регистрировались в дифференциальном режиме (см. раздел 2). Дифракция рентгеновских лучей происходила от плоскостей (220), разориентированных относительно нормали к поверхности на угол  $\varphi = 17'$ . Кроме дифференциальной кривой РДСП также измерялась дифференциальная кривая зеркального отражения. При обработке экспериментальных кривых РДСП кривая зеркального отражения служила референсом, позволяющим с высокой точностью определить значение угла  $\Phi_0$ .

## 3. Теоретическая часть

Аналитическая обработка экспериментальных данных производилась в рамках кинематического предела теории дифракции (теория возмущений) [13, 14]. В этом пределе анализ уравнений дифракции является наиболее простым. Переход к нему можно производить непосредственно в динамических уравнениях дифракции, которые для полей внутри кристалла имеют вид

$$-(\Delta + z_0^2) D_0(\mathbf{r}) = z_0^2 X_0(\mathbf{r}) D_0(\mathbf{r}) + z_0^2 X_h(\mathbf{r}) D_h(\mathbf{r}) e^{-i\mathbf{h}_p \rho}, \quad (2a)$$

$$-(\Delta + z_0^2) D_h(\mathbf{r}) = z_0^2 X_0(\mathbf{r}) D_h(\mathbf{r}) + z_0^2 X_h(\mathbf{r}) D_0(\mathbf{r}) e^{i\mathbf{h}_p \rho}. \quad (2b)$$

Здесь  $z_0$  — модуль волнового вектора (частота) падающего излучения;  $X_0(\mathbf{r})$ ,  $X_h(\mathbf{r})$ ,  $X_{\bar{h}}(\mathbf{r})$  — компоненты поляризуемости,  $\Delta$  — трехмерный оператор Лапласа  $\Delta = \partial^2/\partial\rho^2 + \partial^2/\partial z^2$ ;  $\rho$  — двумерный радиус-вектор, лежащий в плоскости, параллельной поверхности;  $z$  — координата вдоль нормали к поверхности, направленная внутрь кристалла.

Будем рассматривать случай полубесконечного кристалла, в котором нарушения меняются только по глубине, т. е. когда  $\mathbf{h}_p = \mathbf{h}_p(z)$  и

$$X_h = X_{h0}^0(z) \exp[-W(z) + i\Psi(z)],$$

$$\Psi(z) = z_0 \int_0^z \Psi(z') dz', \quad \Psi(z) = 2\varphi(z) \cdot \sin \theta_B, \quad (3)$$

где  $W(z)$  — фактор Дебая—Валлера, характеризующий среднеквадратичное отклонение атомов в узлах решетки;  $\mathbf{h}(z)$  — вектор обратной решетки;  $h_n(z)$  — его  $z$ -компоненты;  $\mathbf{h}_p(z)$  — проекция на поверхность кристалла;  $\varphi$  — угол разориентации дифракционных плоскостей.

Очевидно, что снаружи кристалла (в вакууме)  $X_0 = X_h = 0$ . Здесь волновое поле состоит из падающей рентгеновской волны  $E_0$ , зеркально-отраженной волны  $E_s$  и дифрагированной волны  $E_h$  (рис. 1, a).

В случае слабого дифракционного рассеяния систему уравнений (2) можно исследовать в рамках разложения по степеням  $X_h$  (теория возмущений по параметрам  $X_h$  и  $X_h$ ). Это соответствует борновскому приближению в теории рассеяния.

Строго говоря, в общем случае рассеянное излучение не является плоской волной. Исключение составляет ситуация, когда проекция вектора обратной

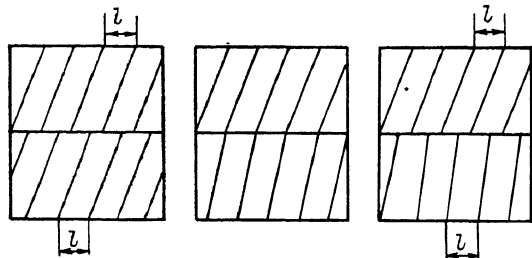


Рис. 2. Типы нарушений кристаллической структуры, не меняющие  $\mathbf{h}_p$  — компоненту вектора обратной решетки (ось  $z$  перпендикулярна поверхности). Красные линии — дифракционные плоскости.

решетки на поверхность кристалла  $\mathbf{h}_p$  не зависит от  $z$ . Ниже мы будем исследовать именно этот случай. Тогда дифрагированное излучение представляет собой плоскую волну, распространяющуюся под углом  $\Phi_h$  к поверхности кристалла в соответствии с соотношением (1). Условие  $\mathbf{h}_p = \text{const}$  выделяет определенный класс нарушений кристаллической решетки. Эти нарушения условно показаны на рис. 2.

Выражение для амплитуды дифрагированной волны в этом случае принимает вид

$$\frac{E_h}{E_0} = \frac{i\chi_0}{2\Phi_h} \int_0^\infty dz R_t(z, \Phi_0) R_t(z, \Phi_h) \cdot \mathbf{X}_h(z), \quad (4)$$

где  $R_t(z, \Phi_0) = D_0(z)/E_0$  — функция распространения излучения в кристалле, определяемая из обычной оптической задачи без учета дифракции (учитывается только преломление и отражение излучения на поверхности).

Если при этом  $\mathbf{X}_0$  не зависит от глубины  $z$ , то выражение (4) упрощается

$$\frac{E_h}{E_0} = \frac{2i\chi_0 \Phi_0 \mathbf{X}_{h0}}{(\Phi_0 + \tilde{\Phi}_0)(\Phi_h + \tilde{\Phi}_h)} \int dz e^{-i\Psi(z) + i\chi_0 (\tilde{\Phi}_0 + \tilde{\Phi}_h)z + i\tilde{\Phi}(z)}, \\ \tilde{\Phi}_{0,h} = \sqrt{\Phi_{0,h}^2 + \mathbf{X}_0^2}. \quad (5)$$

Это соотношение при  $\Psi = \text{const}$  совпадает с полученным в [14].

#### 4. Обсуждение

В связи с тем что в экспериментах падающий пучок не был коллимирован по  $\alpha$  и имел равномерное распределение по этому параметру, в выражении для дифракционного коэффициента следует учесть дополнительно фактор  $2\Phi_h$  (как следует из соотношения (1),  $\delta\alpha = 2\Phi_h \delta\Phi_h$ ). Таким образом, коэффициент дифракционного рассеяния имеет следующий вид:

$$P_h = 2\Phi_h \frac{\Phi_h}{\Phi_0} \left| \frac{E_h}{E_0} \right|^2.$$

Здесь множитель  $\Phi_h/\Phi_0$  возник из-за того, что реально в экспериментах измеряется отношение потоков (а не интенсивностей) рассеянного и падающего излучений.

Необходимым условием справедливости кинематического приближения является, очевидно, условие малости дифракционного рассеяния

$$|E_h/E_0| \ll 1.$$

Это условие для образцов с малым значением угла разориентации выполняется в следующих двух случаях: 1) на хвостах дифракционных кривых (вдали от максимумов), 2) при сравнительно больших значениях угла скольжения  $\Phi_0$  (рис. 3). Как видно из рис. 3, кинематическое приближение справедливо (для исследуемых образцов с  $\varphi=17'$ ) во всей области углов  $\Phi_h$  при значениях  $\Phi_0 \geq 35'$ , т. е. когда еще существенны эффекты отражения, преломления и поглощения для падающего пучка. Напомним, что данными эффектами можно пре-небречь при  $\Phi_0 \gg \Phi_c$ ; в нашем же случае  $\Phi_0$  и  $\Phi_c$  — величины одного порядка (для кремния  $\Phi_c = 13.35'$ ).

Экспериментальные данные рентгенодифракционного рас-сения использовались нами для восстановления профиля нарушений в приповерхностном слое кристалла.

Прежде всего отметим, что различные типы нарушений по-

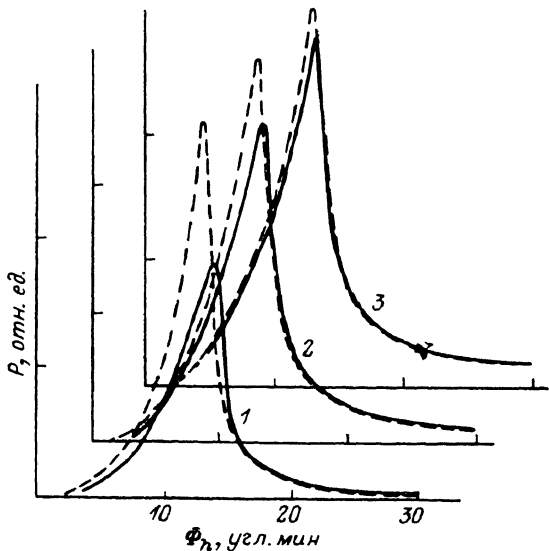


Рис. 3. Сравнение динамической теории (сплошная линия) с кинематической (штриховая) для диф-ференциальных кривых рассеяния от Si (220), Cu  $K_{\alpha_1}$ .

Длина волны  $\lambda=1.54 \text{ \AA}$ ,  $\varphi=17'$ ; 1 —  $\Phi_0=25$ , 2 — 30, 3 — 35'.

разному влияют на дифракционную кривую, точнее на различные ее части (рис. 4, а).

Так, аморфная пленка на поверхности кристалла (для нее  $\exp(-W)=0$ ) влияет в основном на форму переднего фронта дифракционной кривой (рис. 4, а), т. е. в области углов  $0 < \Phi_h \leq \Phi_c + \Delta\Phi_h$ , где  $\Delta\Phi_h$  — полуширина дифракционной кривой, в то же время «хвост» дифракционной кривой практически нечувствителен к наличию аморфной пленки (это особенно наглядно можно увидеть, если обе кривые на рис. 4, а представить в едином масштабе).

С другой стороны, если на поверхности кристалла имеется частично амор-физованный слой с  $\exp(-W) \neq 0$  (или же такой слой имеется под поверхностной аморфной пленкой), то это в основном сказывается на форме «хвоста» кривой дифракционного рассеяния (рис. 4, б) — на нем появляются осцилляции (следствие экспоненциального осциллирующего множителя в выражении (5)). Очевидно, чем больше толщина нарушенного слоя, тем меньше масштаб осцилляций.

Таким образом, уже по форме дифракционной кривой можно качественно судить о характере нарушений в приповерхностном слое кристалла. Отметим, однако, что приведенные выше рассуждения о влиянии нарушений на форму дифракционной кривой относятся к кристаллам, для которых восприимчивость  $X_0$ , характеризующая оптические свойства кристалла, практически не меняется вглубь кристалла. С другой стороны, для гетероструктур, состоящих из различных кристаллических (или аморфных) веществ,  $X_0$  может резко меняться от фазы к фазе, что приводит к появлению осцилляций также и от аморфной пленки.

Как известно, обратные задачи рассеяния практически всегда являются некорректными. Кроме того, существует проблема неоднозначности восстановления профиля нарушений вследствие того, что в эксперименте измеряется квадрат модуля амплитуды рассеяния, а фаза остается неизвестной (см. например,

[15, 16]). Для стабилизации процедуры восстановления профиля, а также для уменьшения неоднозначности, как правило, пользуются дополнительной информацией. Такой информацией, в частности, могут служить данные зеркального рассеяния, как это использовалось в [10]. В настоящей работе применен другой

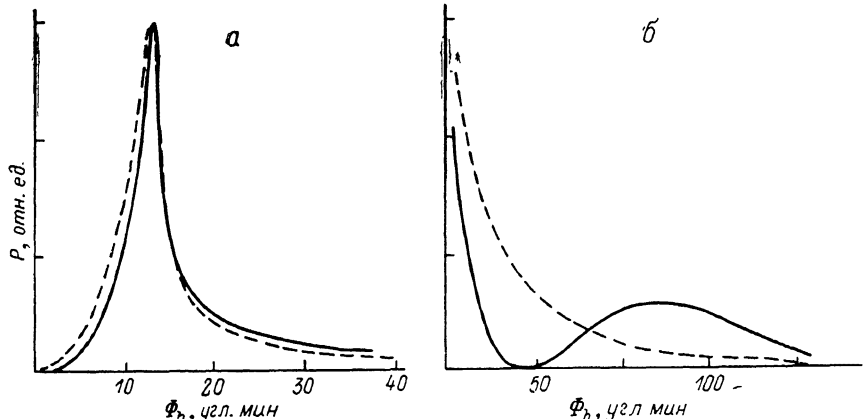


Рис. 4. Чувствительность дифференциальных кривых к приповерхностным нарушениям.

Коэффициент дифракционного рассеяния от нарушенного кристалла обозначен сплошной кривой. Для сравнения приведена дифракционная кривая от идеального кристалла (штриховая кривая). *a* — кристалл Si (220) с аморфной пленкой Si толщиной 30 Å, Cu  $K_{\alpha_1}$ -излучение; *b* — под аморфной пленкой толщиной 50 Å имеется частично аморфизованный слой толщиной 30 Å и фактором Дебая—Валлера  $\exp(-W)=0.5$ .

подход, основанный на одновременном использовании экспериментальных данных (дифференциальных кривых) при двух различных значениях угла скольжения  $\Phi_0$ . Можно надеяться, что это приведет к однозначности восстановления профиля искажений по аналогии с обратной задачей для оптических сред, где

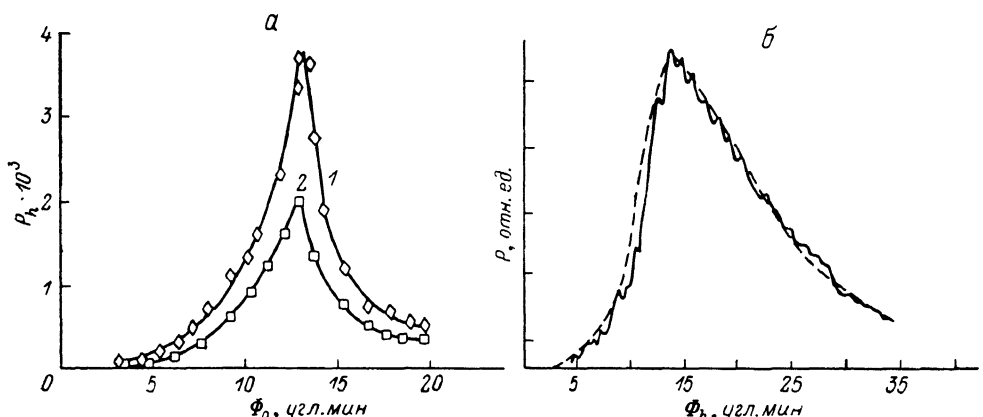


Рис. 5. Сравнение экспериментальных и теоретических кривых дифракционного рассеяния. Cu  $K_{\alpha_1}$ -излучение, подложка Si (220). *a* — результат подгонки методом минимального  $\chi^2$  экспериментальных (ромбики) и теоретических значений (сплошная линия) одновременно при двух различных углах скольжения: 1 —  $\Phi_0=35^\circ$ , 2 —  $40^\circ$ ; минимальное значение  $\chi^2$  наблюдается при толщине аморфной пленки  $t_a=27$  Å; *b* — экспериментальные измерения (сплошная кривая) в динамическом режиме ( $\Phi_0=10^\circ$ ) и теоретическая кривая (штриховая), рассчитанная с использованием ранее полученного результата  $t_a=27$  Å.

такая однозначность достигается благодаря измерениям при двух различных значениях поглощения [17, 18]. В нашем случае различным значениям  $\Phi_0$  соответствуют различные условия проникновения поля в кристалл, что и соответствует различным значениям поглощения в кристалле. Отметим, что поглощение является существенным, если значение  $\Phi_0$  не сильно превосходит значение критического угла полного внешнего отражения  $\Phi_c$ . В этой связи существенно, что кинематическое приближение, как это отмечалось выше, справедливо при

значениях  $\Phi_0$ , сравнимых по порядку величины с критическим углом  $\Phi_c$  (хотя и обязательно превосходящих  $\Phi_c$ ), что делает возможным применение данного приближения в описанном методе.

Что касается устойчивости обратной задачи рассеяния, то для нее в первую очередь необходима хорошая статистика эксперимента. Однако и этого, как правило, оказывается недостаточно, если профиль искажений имеет сложную форму, для его моделирования приповерхностный слой кристалла приходится разбивать на большое количество слоев. В этом случае следует пользоваться разработанными методами стабилизации [20].

На рис. 5, а представлены результаты одновременной подгонки теоретических и экспериментальных кривых при двух значениях угла скольжения  $\Phi_0$  (35 и 40°). Профиль искажений подбирался методом минимального  $X^2$ . Результаты обработки этих кривых свидетельствуют о наличии на поверхности кристалла аморфной пленки толщиной  $t_a = 27^{+3}_{-5}$  Å (минимальное значение  $X^2$  формально приходится на значение  $t_a = 27.5$  Å). Как указывалось выше, толщина пленки влияет прежде всего на фронт кривой РДСП, а частично аморфизованный слой — на «хвост» кривой. Так как между пленкой естественного окисла (это, как правило, 20—70 Å) переходный слой не превышает 3—5 Å [21], то для обнаружения тонкого слоя необходимо регистрировать протяженный «хвост» дифракционной кривой. В связи с низкой интенсивностью рассеянного сигнала регистрация такой зависимости займет много времени (мощность источника ~0.8 кВт; на синхротроне такие измерения легко выполнимы). Наличие на поверхности исследуемого образца аморфного слоя толщиной  $t_a \sim 30$  Å подтверждается также с помощью измерений в динамическом режиме при  $\Phi_0 = 10'$  и расчета по формулам динамической теории дифракции [4] (рис. 5, б).

Таким образом, нами предложена экспериментальная методика дифференциальных измерений с высокой точностью, а также сравнительно простой способ определения профиля аморфизации приповерхностного слоя кристалла.

#### Список литературы

- [1] Afanasjev A. M., Melkonyan M. K. // Acta Cryst. A. 1983. Vol. 39. N 2. P. 207—210.
- [2] Golovin A. L., Imamov R. M. // Phys. Stat. Sol. A. 1983. Vol. 77. N 11. P. 6927—6933.
- [3] Golovin A. L., Imamov R. M., Stepanov S. A. // Acta Cryst. A. 1984. Vol. 40. N 3. P. 225—228.
- [4] Aleksandrov P. A., Afanasjev A. M., Melkonyan M. K., Stepanov S. A. // Phys. Stat. Sol. A. 1984. Gol. 81. N 1. P. 47—53.
- [5] Александров П. А., Степанов С. А. // Поверхность. 1986. № 6. С. 117—120.
- [6] Александров П. А., Афанасьев А. М., Степанов С. А. // Поверхн. 1984. № 8. С. 9—18.
- [7] Golovin A. L., Imamov R. M., Melikyan O. G. // J. Appl. Cryst. 1989. Vol. 22. N 5. P. 406—409.
- [8] Афанасьев А. М., Меликан О. Г. // Кристаллография. 1989. Т. 4. Вып. 1. С. 28—33.
- [9] Aleksandrov P. A., Afanasjev A. M., Stepanov S. A. // Phys. Stat. Sol. A. 1984. Vol. 86. N 1. P. 143—154.
- [10] Головин А. Л., Имамов Р. М., Меликан О. Г. // ЖТФ. 1989. Т. 59. Вып. 12. С. 95—101.
- [11] Cowan P. L., Brennan S., Jach T. et al. // Phys. Rev. Lett. 1986. Vol. 57. N 19. P. 2399—2402.
- [12] Dosch H., Batterman B. W., Wack D. C. // Phys. Rev. Lett. 1986. Vol. 56. N 11. P. 1144—1147.
- [13] Vineyard G. H. // Phys. Rev. B. 1982. Vol. 26. P. 4146—4159.
- [14] Степанов С. А. Канд. дис. М., 1984. 128 с.
- [15] Parratt L. G. // Phys. Rev. 1954. Gol. 95. N 2. P. 359—369.
- [16] Afanasjev A. M., Fanchenko S. S. // Acta Cryst. A. 1988. Vol. 44. N 1. P. 25—33.
- [17] Обратные задачи в оптике / Под ред. Г. П. Болса. М.: Машиностроение, 1984. 200 с.
- [18] Afanasjev A. M., Fanchenko S. S., Maslov A. V. // Phys. Stat. Sol. A. 1990. Vol. 117. N 2. P. 341—350.
- [19] Васильев А. Л., Головин А. Л., Манафов К. М. и др. // Поверхность. 1987. № 1. С. 123—132.
- [20] Тихонов А. Н., Арсенин В. А. Методы решения некорректных задач. М.: Наука, 1979. 231 с.
- [21] Ourmazd A., Taylor D. W., Rentschler G. A. // Phys. Rev. Lett. 1987. Vol. 59. N 2. P. 213—216.